Vol. 24 No. 5 Sep. 2005

文章编号:1673-1689(2005)05-0033-05

## Fenton 预处理提高聚乙烯醇可生化性

曹扬<sup>1,2</sup>, 华兆哲<sup>1,2\*</sup>, 陈坚<sup>1,2</sup>

(1. 江南大学 工业生物技术教育部重点实验室,江苏 无锡 214036; 2. 江南大学 生物工程学院,江 苏 无锡 214036)

摘 要: 在退浆废水中,聚乙烯醇(PVA)是一种污染严重又难以生物降解的物质. 采用 Fenton 法对其进行预处理,可明显地改善其生化性. 研究表明,当溶液初始 pH 值为 4.0,  $H_2O_2/Fe^{2+}$  (摩尔浓度比)=10,  $H_2O_2/COD$ (质量浓度比)=1.5, 反应温度为 40 °C, 反应 30 min 时 Fenton 预处理的效果最佳, COD 去除率达到 80%以上, BOD/COD 值也由 0.1 左右增加到 0.7. 经过活性污泥法的处理, COD 去除率由未经预处理时的 2%提高到 88%左右.

关键词:聚乙烯醇(PVA);Fenton 试剂;预处理;可生化性

中图分类号: TQ 920 文献标识码: A

# Improvement of Biodegradability of Polyvinyl Alcohol by Pre-treatment with Fenton Oxidation

CAO Yang<sup>1,2</sup>, HUA Zhao-zhe<sup>1,2\*</sup>, CHEN Jian<sup>1,2</sup>

(1. Key Lab of Industrial Biotechnology, Ministry of Education, Southern Yangtze University, Wuxi 214036, China; 2. School of Biotechnology, Southern Yangtze University, Wuxi 214036, China)

Abstract: In the desizing wastewater of textile industry, polyvinyl alcohol (PVA) is a kind of non-biodegradable pollutant. Fenton pre-treatment can improve its biodegradability significantly. In this study, the optimum condition of PVA pre-treatment was obtained as follows: the initial pH of solution was 4.0, the molar ratio of  $H_2O_2$  and  $Fe^{2+}$  was 10 to 1, the concentration ratio of  $H_2O_2$  and COD was 1.5 to 1, the reaction temperature was 40 °C and the reaction time was 30 min, respectively. Under the above conditions, the removal efficiency of COD was more than 80% and the ratio of BOD and COD increased from about 0.1 to 0.7. In the activated sludge process, the removal efficiency of COD with the Fenton pre-treatment reached about 88%, while that without pre-treatment was only 2%.

Key words: polyvinyl alcohol (PVA); Fenton's reagent; pre-treatment; biodegradability

在纺织印染行业,织物在退浆过程中会产生高浓度的含聚乙烯醇 (PVA)的废水. 由于 PVA 是高聚物,可生化性差, $BOD_5/COD$  值仅为 0.064,因此

是一种难以生物降解的水溶性有机大分子化合物<sup>[1]</sup>. PVA 排入江河后,会使被污染的水体表面泡沫增多,粘度加大,影响好氧微生物的活动,对水体

收稿日期:2004-12-23: 修回日期:2005-01-17.

基金项目:科技部国际科技合作重点项目(2002DF000006)和教育部出国回国人员科研启动基金资助课题.

的感观性能及复氧极为不利<sup>[2]</sup>. 因此如何处理含高浓度 PVA 的退浆废水一直是环保工作者面临的一个难题.

近年来,高级氧化技术(AOPs)在处理难降解有毒有害废水领域已经引起人们极大的关注,成为国际上水处理领域的热点课题<sup>[3]</sup>. 其中 Fenton 法是研究较多的一种高级氧化工艺,具有设备简单、操作方便、试剂价格低廉、无二次污染等优点,倍受人们的青睐<sup>[4]</sup>. 在实际应用中,将 Fenton 法作为难降解有机废水的预处理方法,与其他生物方法联用是目前的发展趋势<sup>[5]</sup>.

作者研究了将 Fenton 法作为生化处理(活性污泥法)预处理的最适条件,目的不在于单独用Fenton 法去除所有的 PVA 所代表的 COD,而在于将难降解的 PVA 高分子化合物转化为具有较好生物降解性的中间产物,从而在处理效率与经济成本之间达到最佳.

## 1 材料与方法

#### 1.1 材料

PVA:型号为 1799,皂化度 99%,相对分子质量在 75 000 左右.这种型号的 PVA 是印染行业中最常用的化学浆料.

#### 1.2 PVA 溶液的配制

准确称取 1.5 g PVA,加热溶解,定容至 1 000 mL,其性质见表 1.

表 1 PVA 溶液的性质

Tab. 1 Characteristics of PVA solution

pH <b>值</b>	$\mathrm{COD}/(\mathrm{mg}/\mathrm{L})\mathrm{BOD}/(\mathrm{mg}/\mathrm{L})$		BOD/COD
6.08	2 755	226	0.082

#### 1.3 Fenton 预处理

取 PVA 溶液 250 mL,调节溶液的初始 pH 值为 4,加入 1.18 g FeSO<sub>4</sub> •  $7H_2O($ 分析纯),边搅拌边缓慢滴加  $30\%H_2O_2($ 分析纯)4.8 mL,反应一定时间后取样,用 10% NaOH 溶液调节 pH 值  $7\sim9$ ,静置分层后离心,取上清液分析.

### 1.4 活性污泥法

取质量浓度为 1 g/L 的活性污泥 300 mL 两份,分别加入 50 mL 未经预处理的 PVA 溶液和 50 mL 经 Fenton 反应预处理的 PVA 溶液,曝气,控制溶氧在 5 mg/L 左右,按一定时间间隔分别取样,过滤,测上清液的 COD 值直至稳定.

#### 1.5 分析方法

亚美电子仪器厂制造).

COD:重铬酸钾法<sup>[6]</sup> (5B-1 型 COD 快速测定仪,兰州连华环保科技有限公司制造).

BOD:微生物传感器快速测定法<sup>[6]</sup>(220A型BOD快速测定仪,天津赛普环保科技发展有限公司制造).

## 2 结果与讨论

#### 2.1 Fenton 预处理中各因素的影响

2.1.1 Fenton 反应中 PVA 随反应时间的变化过程 控制溶液的初始 pH 值为 3,  $H_2O_2/COD$ (质量浓度比) = 2,  $H_2O_2/Fe^{2+}$  (摩尔浓度比) = 10, 用 Fenton 试剂预处理 PVA,测定不同时间点的 COD和 BOD 值. 做两次平行实验,COD 去除率及 BOD/COD 值随反应时间的变化见图 1.

Fenton 试剂以  $H_2O_2$ 为氧化剂,以  $Fe^{2+}$ 为催化剂,氧化能力极强(仅次于  $F_2$ )<sup>[7,8]</sup>. 在酸性条件下,两者迅速反应生成的 • OH 可以加成到 PVA 的 C—C双键上,使双键断裂,然后将其氧化,生成  $CO_2$ <sup>[9]</sup>. 如图 1 所示,30 min 内 COD 去除率就接近 80%,BOD/COD 值在 20 min 左右就增加到 0.6,表明了 PVA 由难降解向易生物降解的转化. 此外,由图 1 还可以发现,整个反应基本在 30 min 内完成,此后延长反应时间对 PVA 的降解作用甚微.

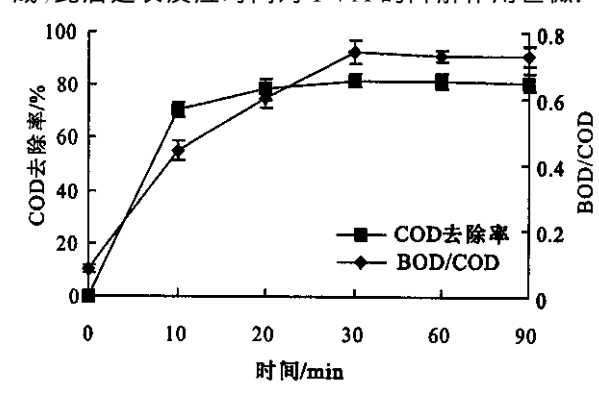


图 1 PVA 的 Fenton 反应中 COD 去除率和 BOD/COD 值随反应时间的变化

Fig. 1 Time course of COD removal and BOD/COD ratio in Fenton reaction of PVA

2.1.2 初始 pH 值的影响 控制  $H_2O_2/COD(质量浓度比)=2$ ,  $H_2O_2/Fe^{2+}$  (摩尔浓度比)=10, 反应时间为 30 min, 将 PVA 溶液的初始 pH 值分别调为 2,3,4,5,6,用 Fenton 试剂进行预处理,测定反应终了的 COD 和 BOD 值,考察初始 pH 值对 COD 去除率及 BOD/COD 值的影响. 各做两次平行实验,结果见图 2.

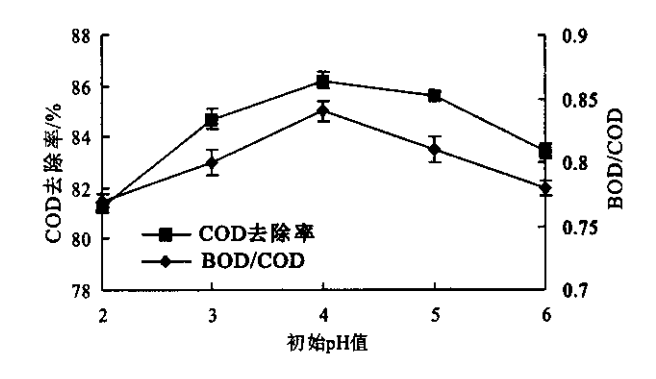


图 2 PVA 的 Fenton 反应中初始 pH 值对 COD 去除率 和 BOD/COD 值的影响

Fig. 2 Effect of initial pH on COD removal and BOD/ COD ratio in Fenton reaction of PVA

从图 2 可以看出,当溶液的初始 pH 值在  $3\sim5$  时,Fenton 法的处理效果比较好,当 pH 值为 4 时,COD 去除率和 BOD/COD 值都达到最大. 当 pH 值过低和过高时,两者均呈现下降的趋势. 原因可能是 pH 值的变化直接影响到  $Fe^{2+}$ 、 $Fe^{3+}$ 的络合平衡体系,从而影响 Fenton 试剂氧化分解 PVA 的能力[ $^{10}$ ]. 随着 pH 值的升高,不仅会使  $H_2O_2$ 分解过快造成无效分解,而且使溶液中  $Fe^{2+}$  以氢氧化物的形式沉淀而失去催化能力. 当 pH 值过低时, $H_2O_2$ 稳定性增强,分解缓慢,不利于 Fenton 反应,同时溶液中  $H^+$  浓度过高, $Fe^{3+}$  不能顺利地被还原为  $Fe^{2+}$ ,使催化反应受阻[ $^{11}$ ]. 由此可见,pH 值过高或过低均不利于 • OH 的生成,从而使系统的氧化能力显著下降,生成的可生物降解的中间产物量减少,导致 PVA 的可生化性也难以提高.

2.1.3  $H_2O_2/Fe^{2+}$  (摩尔浓度比)的影响 控制溶液初始 pH 值为 4,  $H_2O_2/COD$  (质量浓度比) = 2, 反应时间为 30 min, 分别向体系中加入不同量的  $FeSO_4 \cdot 7H_2O$ , 改变  $H_2O_2/Fe^{2+}$  的摩尔浓度比,对 PVA 溶液进行预处理,测定反应终了的 COD 和 BOD 值,考察  $H_2O_2/Fe^{2+}$  对 COD 去除率及 BOD/COD 值的影响. 各做两次平行实验,结果见图 3.

由图 3 可知,当  $H_2O_2/Fe^{2+}=10$  时,COD 去除率和 BOD/COD 值达到最大,说明溶液的可生化性此时最好. 当  $H_2O_2/Fe^{2+}$  大于或小于 10 时,COD 去除率和 BOD/COD 值均下降. 这是因为大于 10 时, $Fe^{2+}$  相对缺乏, $H_2O_2$ 分解产生・OH 的催化能力不足,致使氧化 PVA 的反应速度较慢. 而当  $H_2O_2/Fe^{2+}$ 小于 10 时,则  $Fe^{2+}$ 浓度相对过剩,Fenton反应剩余的  $Fe^{2+}$ 会竞争性消耗・OH,发生以下反应:

万克数据  $\cdot$  OH $\rightarrow$ Fe<sup>3+</sup>+OH<sup>-</sup> (1)

该副反应会消耗  $\cdot$  OH,导致 Fenton 试剂的处理效果下降,从而影响 PVA 的降解. 另外,过高浓度的  $\mathrm{Fe^{2+}}$ ,还会增加出水的色度,从而增加后续处理的成本 $^{[12]}$ .

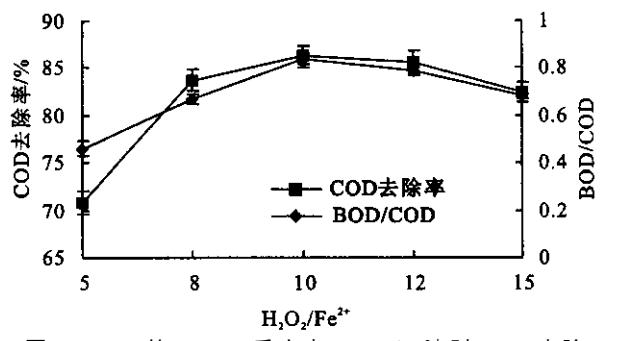


图 3 PVA 的 Fenton 反应中 H<sub>2</sub> O<sub>2</sub>/Fe<sup>2+</sup> 对 COD 去除 率和 BOD/COD 值的影响

Fig. 3 Effect of  $H_2\,O_2/Fe^{2+}$  ratio on COD removal and BOD/COD ratio in Fenton reaction of PVA

2.1.4  $H_2O_2/COD$ (质量浓度比)的影响 控制溶液的初始 pH 值为 4,反应时间为 30 min,  $H_2O_2/Fe^{2+}$ (摩尔浓度比)=10,分别向体系中加入不同量的  $H_2O_2$ ,改变  $H_2O_2/COD$  的比值,进行 Fenton 预处理,测定反应终了的 COD 和 BOD 值,考察  $H_2O_2/COD$  对 COD 去除率及 BOD/COD 的影响.各做两次平行实验,结果见图 4.

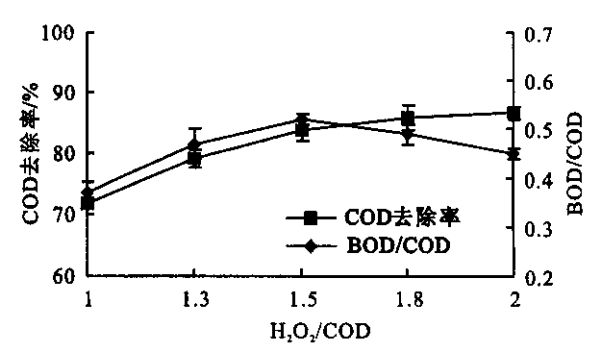


图 4 PVA 的 Fenton 反应中 H<sub>2</sub>O<sub>2</sub>/COD 对 COD 去除 率和 BOD/COD 值的影响

Fig. 4 Effect of  $H_2\,O_2/COD$  ratio on COD removal and BOD/COD ratio in Fenton reaction of PVA

采用 Fenton 试剂处理废水的有效性和经济性主要取决于  $H_2$   $O_2$  的投加量<sup>[13]</sup>. 从图 4 可以看出,随着  $H_2$   $O_2$  /COD 比值的增加,COD 去除率先增大,而后增幅缓慢,趋于平稳;而 BOD/COD 值是先增大,后出现下降.

在  $H_2O_2$  的浓度很低时,只能产生较少的 • OH 和有机物反应. 随着  $H_2O_2$  浓度的增加,产生的 • OH增加,有更多的 • OH 参与氧化有机物的反应,使得溶液的 COD 去除率和 BOD/COD 值同时

增大. 当  $H_2 O_2/COD = 1.5$  时, BOD/COD 为最大值. 随着  $H_2 O_2$  投加量的继续增加, COD 去除率仍在升高, 而 BOD/COD 出现下降. 在此过程中, 增加的 OH 进一步氧化有机物, 使得 BOD 开始下降, 且下降的速度大于 COD 的下降速度, 导致 BOD/COD 下降.

2. 1. 5 反应温度的影响 控制溶液的初始 pH 值为 4,反应时间为  $30 \, \text{min}$ , $H_2\,O_2/\text{COD}$ (质量浓度比) =1.5, $H_2\,O_2/\text{Fe}^{2+}$  (摩尔浓度比) =10,改变体系的反应温度,用 Fenton 试剂进行预处理,测定反应终了的 COD 和 BOD 值,考察反应温度对 COD 去除率及 BOD/COD 值的影响. 各做两次平行实验,结果见图 5.

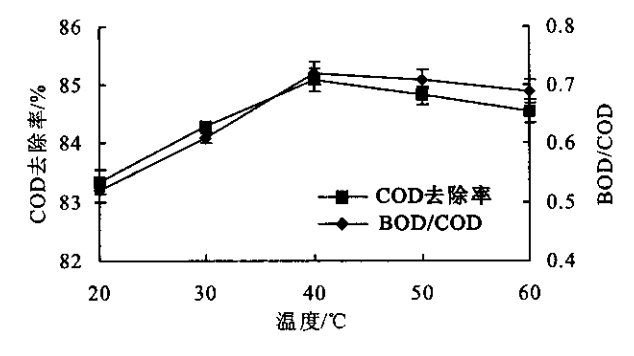


图 5 PVA 的 Fenton 反应中温度对 COD 去除率和 BOD/COD 值的影响

Fig. 5 Effect of temperature on COD removal and BOD/COD ratio in Fenton reaction of PVA

图 5 显示,随着反应温度的升高,无论 COD 去除率还是 BOD/COD 值都是先增加后降低. 当反应温度为 40  $\mathbb{C}$  时,BOD/COD 值最高,COD 去除率最大. 对于 Fenton 反应这样一个复杂的体系,温度升高,不仅加速正反应的进行,也加速了副反应. 一般来说,温度升高,可以激活  $\cdot$  OH 使其活性增大,有利于  $\cdot$  OH 与废水中的有机物发生反应,从而提高废水的 COD 去除率. 但温度过高会促使  $H_2$   $O_2$  分解为 $O_2$  和  $H_2$   $O_3$  不利于  $\cdot$  OH 的生成,反而会降低处理效果[ $^{8}$ ],使得 COD 和 BOD/COD 值都呈现下降趋势. 所以选择反应温度为  $^{40}$   $^{\circ}$ C.

#### 2.2 活性污泥法的验证结果

上述研究发现,PVA 在经过 Fenton 试剂的氧化处理后,COD 浓度大大降低,可生化性得到较大程度的改善,为活性污泥法的处理创造了条件. 因此作者用活性污泥法分别对 Fenton 预处理前、后的 PVA 溶液进行了生物处理,结果见图 6,7.

从图 6,7 的比较中可知,未经预处理的 PVA 溶液难以单独用活性污泥法降解,COD 始终维持在 2 000 石疗数损上.而 Fenton 法预处理后的溶液

在活性污泥法处理中,COD 迅速降至 50~mg/L 以下,COD 去除率达 88%. 说明 Fenton 法预处理确实能够氧化难生物降解的 PVA,使其可生化性得到显著的提高,为后续的生物处理创造了有利的条件.

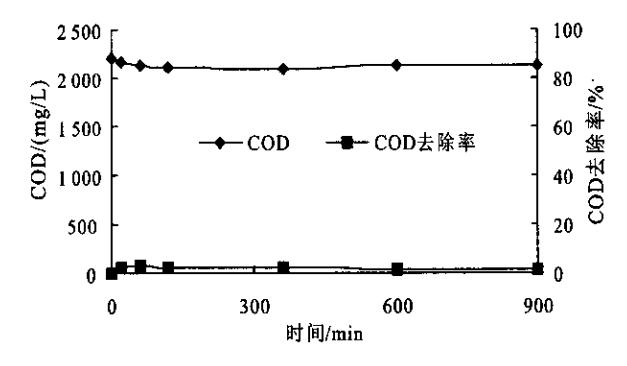


图 6 未经预处理的 PVA 溶液在活性污泥法处理过程中 COD 及 COD 去除率随时间的变化

Fig. 6 Time course of COD and COD removal during activated sludge process without pre-treatment

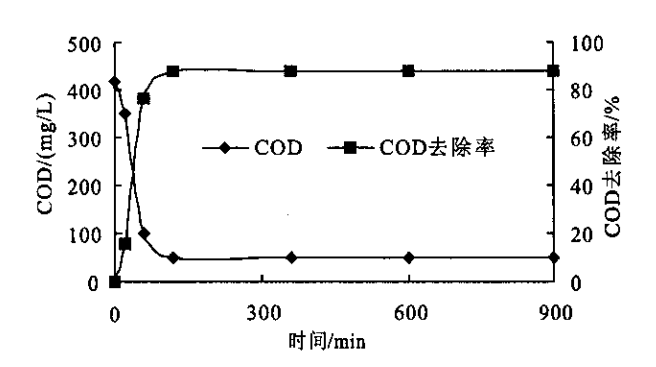


图 7 经 Fenton 预处理的 PVA 溶液在活性污泥法处理 过程中 COD 及 COD 去除率随时间的变化

Fig. 7 Time course of COD and COD removal of PVA during activated sludge process with Fenton pre-treatment

## 3 结 论

1)通过 Fenton 试剂预处理, PVA 溶液的 COD 浓度大大降低,可生化性得到了明显的改善. 确定的 Fenton 法预处理 PVA 的最佳条件为:反应时间 30 min,初始 pH 值 4,  $H_2O_2/\text{COD}$ (质量浓度比)=1.5,  $H_2O_2/\text{Fe}^{2+}$ (摩尔浓度比)=10,反应温度为  $40 \degree$ . 在此条件下, COD 去除率达到 80%以上, BOD/COD 值从 0.082 上升到 0.7 左右,从而为后续的生物处理创造了条件.

2) Fenton 反应的出水经活性污泥法处理后, COD 去除率达到 88%,COD 质量浓度降至 50 mg/ L以下,出水达一级排放标准. Fenton 预处理—活 性污泥法的组合工艺对于处理难生物降解的 PVA 具有良好的处理效果,为该工艺的工业化提供了 依据.

## 参考文献:

- [1] 谢冰, 徐亚同. 含 PVA 退浆废水的处理实践[J]. 环境工程, 2002, 20(5): 7-9.
- [2] 郑广宏,顾国维,沈阳. 缺氧反硝化-好氧串联系统对难降解 PVA 退浆废水的试验研究[J]. 环境污染与防治,2003,25(6),326-328.
- [3] Sheng H Lin, Cho C Lo. Fenton process for treatment of desizing wastewater[J]. Wat Res, 1997, 31(8): 2050-2056.
- [4] Leyrini O, Oliveros E, Braun A M. Photochemical processes for water treatment[J]. Chem Rev, 1993, 93: 671-698.
- [5] 陆雪梅, 邹家庆. D-HPG 废水的预处理[J]. 南京工业大学学报, 2002, 24(4): 94-97.
- [6] 国家环保局编. 水和废水监测分析方法(第四版)[M]. 北京:中国环境科学出版社,2002. 211-212.
- [7] 王罗春, 沈丽蓉, 丁桓如, 等. Fenton 试剂处理电厂离子交换树脂再生废水[J]. 环境污染与防治, 2001, 23(5): 238—240.
- [8] 陈传好,谢波,任源,等. Fenton 试剂处理废水中各影响因素的作用机制[J]. 环境科学,2000,21(3):93-96.
- [9] 王罗春, 闻人勤, 丁桓如, 等. Fenton 试剂处理难降解有机废水及其应用[J]. 环境保护科学, 2001, 105(27): 11-14.
- [10] Chen R, Pignatello J J. Role of quinone intermediates as electron shuttle in Fenton and photoassisted Fenton oxidations of anomatic compounds[J]. Environ Sci Technol, 1997, 31(8): 2399-2406.
- [11] 肖羽堂,陈拥军,张晶晶,等. Fenton 试剂预处理 H 酸废水的影响因素及其可生化性[J]. 环境化学,2001,20(3): 281-285.
- [12] 颜智勇,杨仁斌,方至,等. 果绿废水预处理试验研究[J]. 工业用水与废水,2002,37(6):38-41.
- [13] 张国卿,王罗春,徐高田,等. Fenton 试剂在处理难降解有机废水中的应用[J]. 工业安全与环保,2004,30(3):17—20.

(责任编辑:李春丽)

(上接第 32 页)

## 3 结 论

离子交换树脂在酶的分离提纯中可以用于微生物发酵粗酶液的脱色.选择吸附大多数色素而不吸附目标酶的交换树脂作为脱色介质;选择目标酶

稳定且不带电荷的 pH 值作为脱色时的起始 pH 值,或选择目标酶带有与离子交换树脂功能基团相同电荷的 pH 值作为脱色时的起始 pH 值;选择盐型离子交换功能基反离子进行脱色操作.

## 参考文献:

- [1] 张承圭,王传怀,袁玉荪,等. 生物化学仪器分析及技术[M]. 北京:高等教育出版社,1990. 172-173.
- [2] 天津轻工业学院. 发酵工业分析[M]. 北京:轻工业出版社,1980. 234-236.
- [3] 李建武,萧能赓,余瑞元,等. 生物化学实验原理和方法[M]. 北京:北京大学出版社,1994. 38-43.
- [4] Astrup T, Mullertz S. The fibrin plate method for estimating fibrinolytic activity[J]. Arch Biochem Biophys, 1952. 40: 346-351.
- [5] 刘晓兰,杜连祥,路福平,等. Rhizopus chinensis 12 # 发酵产生纤溶酶的分离提纯[J]. 无锡轻工大学学报,2003,23(3): 26-31.
- [6] Lowry OH, Rosebrough NJ, Farr AL, et al.. Protein measurement with the Folin phenol reagent[J]. Journal of Biological Chemistry, 1951, 193: 264-275.
- [7] 钱庭宝. 离子交换剂应用技术[M]. 天津:天津科学技术出版社,1984. 128-166.
- [8] 王博彦,金其荣. 发酵有机酸生产与应用手册[M]. 北京:中国轻工业出版社,2000.163-166.

(责任编辑:杨萌)